МЕХАНИКА.

С. А Амбарцумян, чл.-корр. АН Армянской ССР, и Г. Е. Багдасарян

флаттер пластинки, находящейся в поле действия температуры

(Представлено 2 IV 1964)

1. Рассматривается изотропная пластинка постоянной толщины h, отнесенная к декартовым координатам x, y, z так, что срединная плоскость недеформированной пластинки совпадает с координатной плоскостью xy. Принимается, что от температуры T = T(z,t) зависит лишь модуль упругости материала пластинки E.

Пусть пластинка обтекается сверхзвуковым потоком сжимаемого газа с невозмущенной скоростью U, направленной вдоль оси ox.

В основу последующих рассуждений ставятся следующие известные гипотезы:

- а) гипотеза Кирхгофа о недеформируемых нормалях (1);
- б) гипотеза Неймана об отсутствии сдвигов от изменения температуры в бесконечно малом элементе пластинки (-);
- в) "закон плоских сечений" при определении аэродинамического давления (3).

На основе принятых предположений исходное дифференциальное уравнение движения пластинки запишется следующим образом (4)

$$D(t) \Delta \Delta w + \delta_0 h \frac{\partial^2 w}{\partial t^2} = Z. \tag{1.1}$$

где

$$\Delta = \frac{\partial^2}{\partial x^2} + \frac{\partial^2}{\partial v^2},$$

 $D(t) = E(t) h^3/12 (1-v^2)$ — цилиндрическая жесткость пластинки, $v - \kappa o - \omega$ ффициент Пуассона, ω — прогиб пластинки, v_0 — плотность материала пластинки, $Z - \omega$ нормально приложенная внешняя нагрузка (1)

$$Z = -2\delta_0 h \varepsilon \frac{\partial w}{\partial t} + \nabla p. \tag{1.2}$$

Здесь є — коэффициент линейного затухания. Ср — избыточное - авление газа, которое, согласно "поршневой теории", имеет вид

$$\nabla p = -\frac{xp_{-}}{a_{x}} \left(\frac{\partial w}{\partial t} + U \frac{\partial w}{\partial x} \right), \tag{1.3}$$

где p_* — давление невозмущенного потока газа, a_* — скорость звука для невозмущенного потока, x — показатель политропы.

2. Решение уравнения (1.1) ищем в виде

$$w = f(t)e^{-t\frac{\pi}{\lambda_x}x}\sin\frac{\pi y}{\lambda_y}.$$
 (2.1)

Здесь f(t) — некоторая комплексная функция действительного аргумента, λ_x и λ_y — соответственно длины полуволны в направлениях x и y.

Подставляя (2.1) в (1.1), с учетом (1.2) и (1.3), для определения f(t) получим следующее дифференциальное уравнение второго порядка с переменными коэффициентами

$$\frac{d^2f}{dt^2} + \left(2\varepsilon + \mu\right) \frac{df}{dt} + \frac{D(t)}{\delta_0 h} \left[\left(\frac{\pi^2}{\lambda_x^2} + \frac{\pi^2}{\lambda_y^2}\right)^2 \right] f(t) - i \frac{\mu \pi}{\lambda_x} U f(t) = 0, (2.2)$$
 где

$$\mu = \frac{\kappa p_{\infty}}{\delta_0 h a_{\infty}}.$$

Подстановкой

$$f(t) = \varphi(t) e^{-(i - \mu_z)t}$$
(2.3)

из (2.2) получим

$$\frac{d^2\varphi}{dt^2} + \delta^2\psi(t)\varphi(t) = 0, \qquad (2.4)$$

$$\psi(t) = \frac{E(t) h^{3}g}{E_{0}} \left(\frac{\pi^{2}}{\lambda_{x}^{2}} + \frac{\pi^{2}}{\lambda_{y}^{2}}\right)^{2} - \frac{12\gamma_{0}h(1-y^{2})}{E_{0}} \left[(z + \mu/2)^{2} + i\frac{\mu\pi}{\lambda_{x}}U \right],$$

$$\delta^{2} = \frac{E_{0}}{12\gamma_{0}h(1-y^{2})},$$
(2.5)

где E_0 — начальный модуль упругости, γ_0 — удельный вес материала, g — ускорение силы тяжести.

Уравнение (2.4) будем решать методом асимптотического интегрирования. Множитель последнего члена уравнения (2.4), т. е. 6 , является большим параметром, в силу этого решение уравнения (2.4) будем искать в виде (6 , 7)

$$\varphi = \varphi_0(\delta, t) e^{\delta \omega_0(t)} \tag{2.6}$$

где $\varphi_0\left(\delta,t\right)$ — функция интенсивности, $\omega\left(t\right)$ — функция изменяемости. Функцию интенсивности представим в виде асимптотического ряда

$$\varphi_0(\hat{o},t) = \sum_{n=0}^{\infty} \frac{1}{n} V_n(t).$$
 (2.7)

Подставляя (2.7) в (2.4) и требуя, чтобы коэффициенты при всех степенях δ обращались в нули, получим бесконечную систему рекуррентных дифференциальных уравнении для определения $\omega(t)$, $V_1(t)$,..., $V_n(t)$,...

$$V_{0}(t) \left[\frac{d\omega}{dt} \right]^{2} + V_{0}(t) \psi(t) = 0,$$

$$2 \frac{d\omega}{dt} \frac{dV_{0}}{dt} + \frac{d^{2}\omega}{dt^{2}} V_{0}(t) = 0,$$

$$2 \frac{d\omega}{dt} \cdot \frac{dV_{n}}{dt} + \frac{d^{2}\omega}{dt^{2}} V_{n}(t) = -\frac{d^{2}V_{n-1}}{dt^{2}}$$

$$(n = 1, 2, 3, ...)$$
(2.8)

Огряничиваясь первым приближением, получим

$$\left[\frac{d^m}{dt}\right]^2 = -\psi(t),\tag{2.9}$$

$$2\frac{d\omega}{dt}\frac{dV_0}{dt} + \frac{d^2\omega}{dt^2}V_0(t) = 0.$$
 (2.10)

Из (2.9) для функции изменяемости находим

$$w_{1,2}(t) = \pm \int_{0}^{t} \sqrt{\psi(t)} dt + c_{0}.$$
 (2.11)

где c_0 — постоянная интегрирования.

Подставляя (2.11) в (2.10), получим линейное дифференциальное уравнение первого порядка относительно $V_{\scriptscriptstyle 0}(t)$, общее решение которого имеет вид

$$V_0(t) = c b^{-1/4}(t), \tag{2.12}$$

где с также постоянная интегрирования.

Подставляя значения ω и V_0 соответственно из (2.11) и (2.12) в (2.6), с учетом (2.3), в первом приближении для f(t) получим*

$$f(t) = \psi^{-1/4} \left[c_1 e^{i\beta(t) - (i + \mu/2)t} + c_2 e^{-i\beta(t) - (i + \mu/2)t} \right]. \tag{2.13}$$

где

$$\beta(t) = \delta \int_{0}^{t} \sqrt{\psi(t)} dt = \beta_{1}(t) + i\beta_{2}(t)$$
 (2.14)

 $c_1 = a_1 + ib_1$, $c_2 = a_2 + ib_2$ — произвольные комплексные постоянные.

Характер функции f(t) зависит как от скорости набегающего потока U, так и от изменения модуля упругости E(t). Если модуль амплитуды f(t) в течение времени возрастает, то будем считать, что пластинка находится в неустойчивом состоянии. В противном случае состояние пластинки является устойчивым. Скорость потока U_{kp} при котором $\frac{d}{dt}|f(t)|=0$, будем называть кригической.

^{*} Отметим, что, пользуясь уравнениями (2.8), можно найти любое приближение асимптотического интегрирования.

3. Для выяснения характера функции f(t) от времени необходимы: аналитическая зависимость модуля упругости материала пластинки от температуры, а также закон изменения температуры во времени t.

Как показывают экспериментальные исследования (8,9), модули упругости различных материалов, в зависимости от температуры достаточно высокой точностью можно аппроксимировать зависимостями

$$E = E_0 - E_0 T, (3.1)$$

$$E = E_0 - E_1^* T^2 ag{3.2}$$

$$E = E_0 e^{-\lambda^* T}, \tag{3.3}$$

где E_0 , E_1 , κ — некоторые коэффициенты, определяемые из эксперимента.

Пусть средняя температура пластинки изменяется по закону (8)

$$T = At, A = T_{max} t_1^{-1} \ (0 \le t \le t_1),$$
 (3.4)

где A — постоянный коэффициент пропорциональности, T_{max} — максимально достигаемая температура пластинки, t_1 — время, необходимое для достижения температуры T_{max} .

В силу (3.4) из (3.1), (3.2) и (3.3) соответственно получим

$$E = E_0 - E_1 t, \tag{3.5}$$

$$E = E_0 - E_2 t^2, (3.6)$$

$$E = E_0 e^{-\lambda_1 t}, (3.7)$$

где

$$E_1 = AE_0^{\bullet}, E_2 = A^2E_1^{\bullet}, \lambda_1 = \lambda^{\bullet}A.$$
 (3.8)

4. Рассмотрим случай, когда E(t) определяется формулой (3.5). Тогда из (2.13) и (2.14) с учетом (2.5) для f(t) и р(t) имеем*

$$f(t) = r^{-1/4} e^{-\beta_{\pi}(t) - (i + \mu/2) t} \left[\left(\cos \frac{\alpha + 2\pi j}{4} - i \sin \frac{\alpha + 2\pi j}{4} \right) \times \left(c_1 e^{i\beta_1(t)} + c_2 e^{-i\beta_1(t)} e^{2\beta_2(t)} \right) \right], \tag{4.1}$$

$$\beta(t) = -\frac{2\delta}{3a} \left[r^{3/2} \left(\cos \frac{3\alpha + 2k\pi}{2} - i \sin \frac{3\alpha + 2k\pi}{2} \right) - r_0^{3/2} \left(\cos \frac{3\alpha_0 + 2k\pi}{2} - i \sin \frac{3\alpha_0 + 2k\pi}{2} \right) \right], \tag{4.2}$$

$$(j = 0, 1, 2, 3; k = 0, 1)$$

где

$$r^{2}(t) = \frac{1}{E_{0}^{2}} \left[B^{2}(t) + F^{2}U^{2} \right],$$

^{*} Укажем, что в этом частном случае уравнение (2.2) может быть решено точно (4).

$$\alpha(t) = \arctan \frac{FU}{B(t)},$$

$$a = \frac{E_1}{E_0} h^3 g \left(\frac{\pi^2}{\lambda_x^2} + \frac{\pi^2}{\lambda_y^2}\right)^2,$$

$$B(t) = \frac{E_0 - E_1 t}{E_1} E_0 a - 12 \gamma_0 h (1 - v^2) (\epsilon + \mu/2)^2,$$

$$F = 12 \gamma_0 h (1 - v^2) \frac{\pi \mu}{\lambda_x},$$

$$r_0 = r(0), \ \alpha_0 = \alpha(0).$$
(4.3)

Следовательно, для $\beta_1(t)$ и $\beta_2(t)$ имеем

$$\beta_1(t) = -\frac{2\delta}{3a} \left(r^{3/2} \cos \frac{3\alpha + 2k\pi}{2} - r_0^{3/2} \cos \frac{3\alpha_0 + 2k\pi}{2} \right),$$

$$\beta_2(t) = \frac{2\delta}{3a} \left(r^{3/2} \sin \frac{3\alpha + 2k\pi}{2} - r_0^{3/2} \sin \frac{3\alpha_0 + 2k\pi}{2} \right).$$
(4.4)

Как было указано выше, критическая скорость флаттера определяется из условия*

$$\left| \frac{d}{dt} \right| f(t) = 0, \tag{4.5}$$

которое после раскрытия имеет вид

$$\frac{d}{dt} \left\{ r^{-1/4} e^{-\beta_2 (t) - (\alpha + \mu/2) t} \left[\left(e^{2\beta_2 (t)} (a_2 \cos \beta_1 (t) + b_2 \sin \beta_1 (t)) + a_1 \cos \beta_1 (t) - b_1 \sin \beta_1 (t) \right)^2 + \left(e^{2\beta_2 (t)} (b_2 \cos \beta_1 (t) - a_2 \sin \beta_1 (t)) + b_1 \cos \beta_1 (t) + a_1 \sin \beta_1 (t) \right)^2 \right]^{\frac{1}{2}} \right\} = 0.$$
(4.6)

Ввиду громоздкости уравнения (4.6) аналитическое определение и затруднительно.

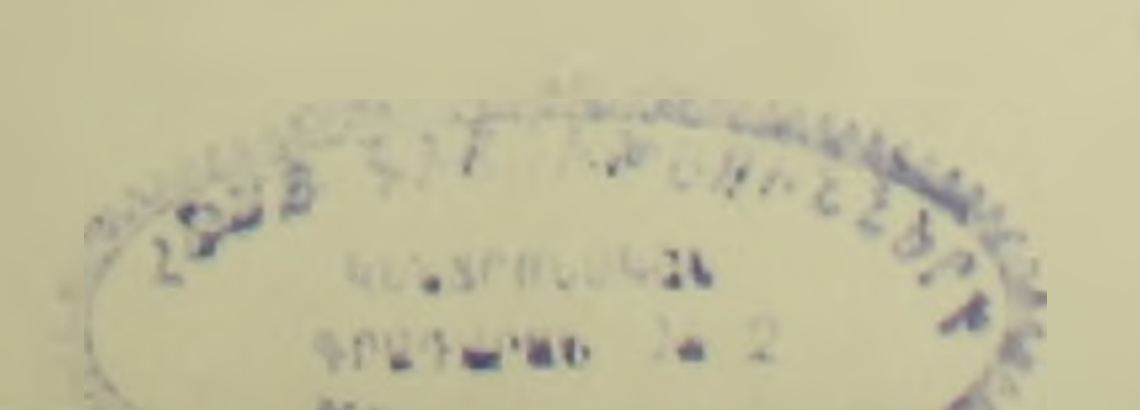
Однако задача определения U_{kp} существенно упрощается, если приближенно потребовать, чтобы модули обоих слагаемых функции f(t)

$$|c_1|r^{-1/4}e^{3\epsilon(t) - (\epsilon + \mu/2)t},$$

$$|c_2|r^{-1/4}e^{-3\epsilon(t) - (\epsilon + \mu/2)t}.$$
(4.7)

были убывающие. Рассматривая (4.7), легко заметить, что вмодуль первого слагаемого, независимо от скорости потока, в течение вре-

Легко проверить, что случан k=0 и k=1 дают одинаковые результаты для критической скорости флаттера. Поэтому в дальнейшем принимаем k=0.



мени убывает. Тогда критическую скорость флаттера определяем из условия

$$\frac{d}{dt} \left[r^{-1/4} e^{-\beta_2(t) - (\varepsilon + \mu/2) t} \right] \le 0. \tag{4.8}$$

Имея в виду, что

$$B(t) > 0$$
, $\frac{d\beta_2(t)}{dt} = -\frac{\delta}{V \overline{2E_0}} V V \overline{B^2 + F \cdot U^2} - B < 0$, (4.9)

из (4.3) и (4.4) находим, что $0 \leqslant \alpha < \pi/2$ и $\beta_2(t) \leqslant 0$ ($0 \leqslant t \leqslant t_1$). В силу (4.9) из (4.8) получим

$$\frac{1}{4} \frac{B(t) E_0 a}{B^2 + F^2 U^2} \le -\frac{1}{\sqrt{24 \gamma_0 h} (1 - \sqrt{2})} \sqrt{V B^2 + F^2 U^2} - B + (\varepsilon + \mu/2). \tag{4.10}$$

Формула (4.10) дает возможность определить критическую скорость флаттера в любой момент времени t (0 \leq t \leq t_1).

В большинстве случаев $B^2\gg F^2U^2$. Тогда из (4.10) можно получить

$$\frac{U_{kp}}{U_{kp}^*} = 1 - \frac{1}{4\left(\varepsilon + \mu/2\right)} \frac{E_1}{E_0 - E_1 t},\tag{4.11}$$

где

$$U_{k\rho}^{\star} = \sqrt{\frac{D_{}(t)}{\delta_0 h}} \left(\frac{\pi}{\lambda_x} + \frac{\pi \lambda_x}{\lambda_y^2}\right) \left(1 + \frac{2\varepsilon}{\mu}\right)$$
 — критическая скорость, найден-

ная по квазистатической теории с точки зрения температуры, т. е. когда в окончательной формуле критической скорости для несогреваемой пластинки вместо E полагать ($E_0 - E_1 t$).

Формула (4.11) показывает, что динамическая критическая скорость флаттера меньше критической скорости, найденной по квазистатической теории, и в случае достаточно малого затухания может существенно отличаться от нее.

В случае несогреваемой пластинки $E_1=0$. Тогда из (4.10) получим

$$U_{k\rho} = V(\lambda_x, \lambda_y) \left(1 + \frac{2\varepsilon}{\mu} \right), \tag{4.12}$$

где

$$V\left(\lambda_{x},\ \lambda_{y}\right) = \sqrt{\frac{D_{0}}{\lambda_{0}\hbar}\left(\frac{\pi}{\lambda_{x}} + \frac{\pi\lambda_{x}}{\lambda_{y}^{2}}\right)}$$
 — фазовая скорость распро-

странения упругих волн в пластинке, $D_0 = D(0)$.

Формула (4.12) совпадает с точной формулой, полученной в p^{a-} боте (5).

Аналогичным образом можно решить задачу в тех случаях, когда E(t) определяется формулами (3.6) или (3.7).

Институт математики и механики Академии наук Армянской ССР

Ս. Ա ՀԱՄԲԱՐԶՈՒՄՅԱՆ ԵՎ Գ. Ե ԲԱՂԴԱՍԱՐՅԱՆ

ծրողտյիը մաշոր աժժբնուհյաը տար ձոլվով սաքի ֆիասոբեն

ան նրեղային մաճար աժմբնությար տար։ «Իրթունիվում է արվբեն ուսեր կայուրյության իրները չայրից դրդ անամաշիկուն հիտանիվում է արվբեն ուսեր կայուրյության իրները չայրից դրդ անամաշիկուն

երվուդ է, որ տալի դյութի աստցմակար չատկությունները կախված բր օրև-

சவர்க்க சிரையர்க்க

իղասասվ Նվամիստատիկակար կևիաիկանար անաժություրին։ 8սոն է անվաց, ոն ոտանվուց ինրաիկանուր անաժություրն փոեն է չբնգառակջարի Հոսարճի ինկաիկակար անաժությար բազուն ոտանվաց է չանվայիր հարացը։

ЛИТЕРАТУРА — ԳРԱԿԱՆПЬРЗПЬЪ

1 С. П. Тимошенко, Пластинки и оболочки, Гостехиздат, 1948 в Новацкий, Вопросы термоупругости, Известия АН СССР, 1962. А. А. Ильюшин, ПММ, 20 № 6, 1956. С. А. Амбарцумян, Известия АН СССР, ОТН, № 4, 1963 В. В. Болотин, Неконсервативные задачи теории упругой устойчивости, Физматгиз, М., 1961. С. А. Амбарцумян, Теория анизотропных оболочек, Физматгиз, 1961. А. Л. Гольбенвей зер, Теория упругих тонких оболочек, Гостехиздат, 1953. В. Е. Гейтвуд, Температурные напряжения, ИЛ, 1959. И. И. Гольденблат, Н. А. Николаенко, Расчет температурных напряжений в ядерных реакторах, Гостехиздат, 1962.